

การคำนวณผลการตอบสนองอุณหภูมิภายในในทรงกระบอก
ด้วยวิธีไฟไนต์รีซิสแทนซ์-ค่าปานิชแทนซ์

Calculating Inside Cylinder Temperature Response
By Finite Resistance-Capacitance Method

ประเสริฐ อินประเสริฐ
ภาควิชาวิศวกรรมเครื่องกล คณะวิศวกรรมศาสตร์ มหาวิทยาลัยสยาม
235 ถนนเพชรเกษม เขตภาษีเจริญ กรุงเทพฯ 10163
โทร. 457-0068 ต่อ 121, โทรสาร 457-3982, อีเมล์ Prasert_Inp@yahoo.com

Prasert Inprasert
Department of Mechanical Engineering, Faculty of Engineering, Siam University
235 Petkasem Road, Phasicharoen, Bangkok 10163
Tel: 457-0068 Ext 121, Fax: 457-3982, E-Mail: Prasert_Inp@yahoo.com

บทคัดย่อ

บทคัดย่อ นำเสนอการคำนวณผลการตอบสนองอุณหภูมิภายในในทรงกระบอกที่เปลี่ยนไปตามเวลาด้วยวิธีไฟไนต์รีซิสแทนซ์-ค่าปานิชแทนซ์ โดยการแบ่งเนื้อวัสดุออกเป็นทรงกระบอกกลวงผัง網บางชั้นกัน เป็นจำนวนมาก ซึ่งแต่ชั้นประกอบขึ้นด้วยตัวแทนทางการนำความร้อน 1 ตัว และตัวเก็บความร้อน 1 ตัว สำหรับการคำนวณการพาความร้อน บริเวณผิววัสดุไปยังของเหลวจะใช้ตัวแทนทางการพาความร้อน 1 ตัว แล้วใช้โปรแกรมอิเลคทรอนิกส์เวิร์คเบนซ์คำนวณแบบจำลองนี้เปรียบเทียบกับผลการคำนวณทางทฤษฎีว่าอุณหภูมิที่ได้มีความผิดพลาดเพียงใด เมื่อกำหนดให้แห่งทรงกระบอกกลุ่มนี้มีรัศมี 50 mm. และ มีความสูงไม่จำกัด มีอุณหภูมิเริ่มต้น 200°C มีค่าสปาร์กการนำความร้อน 237 W/m.⁰C, ความหนาแน่น 2702 kg/m³ และความความร้อน จำเพาะ 903 J/kg. °C ทำให้ยืนลงทันทีในของเหลวอุณหภูมิ 50 °C ซึ่ง มีค่าสัมประสิทธิ์การพาความร้อน 500 W/m.².°C เมื่อคำนวณอุณหภูมิที่ตำแหน่งลึกจากวิหน้า 25 mm. ด้วยโปรแกรมโดยให้เวลาผ่านไป 360 วินาที ปรากฏว่ามีความผิดพลาด 0.43 % จากค่าความผิดพลาดแสดงให้เห็นว่าแบบจำลองความร้อนนี้วิธีไฟไนต์รีซิสแทนซ์-ค่าปานิชแทนซ์ สามารถคำนวณโดยทฤษฎีทางไฟฟ้าได้ ซึ่งจะเป็นการง่ายในการใช้โปรแกรมสำหรับงานไฟฟ้าคำนวณปัญหาการถ่ายเทความร้อนในสภาวะแปรเปลี่ยนไปตามเวลาที่มีความซับซ้อนของเนื้อวัสดุต่อไป คำสำคัญ: วิธีไฟไนต์รีซิสแทนซ์-ค่าปานิชแทนซ์, การตอบสนองอุณหภูมิ, อุณหภูมิภายในทรงกระบอก, ชั้นส่วนทรงกระบอกกลวง

Abstract

This paper presents to calculate inside cylinder temperature response by the finite resistance-capacitance method. By divide a material to many thin wall hollow cylindrical elements, each element assembles 2 parts of a conduction resistance and a heat capacitance. For calculate convection heat transfer on a surface area to fluid use a convection resistance. Using ELECTRONIC WORKBENCH software to calculate this finite resistance-capacitance model and compare with analytical method to find temperature response errors. On the calculation let an aluminum cylinder infinite high, 50 mm radius. This cylinder initially at 200 °C has thermal conductivity 237 W/m.⁰C, density 2702 kg/m³ and specific heat 903 J/kg. °C. This object is placed suddenly in fluid at 50 °C. Estimate the convection heat transfer coefficient is 500 W/m.².°C. Calculating temperature at 25 mm depth from the surface by this software to 360 sec having an error result 0.43 %. From error results show that this finite resistance-capacitance model can be calculated by electrical theory which easy to use electrical software to solve in heat transfer response problem of complicated materials in the future.

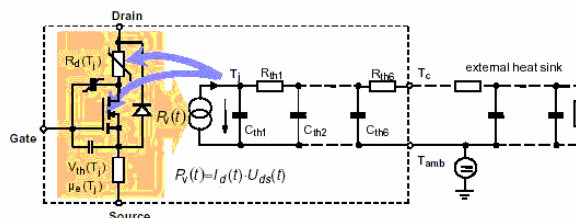
Keyword: finite resistance-capacitance method, temperature response, inside cylinder temperature, hollow cylindrical element

1. บทนำ

วิธีไฟไนต์เรซิสแตนซ์-คากาชิแทนซ์เป็นการคำนวณการถ่ายความร้อนในสภาพแปรเปลี่ยน [6] โดยการแบ่งเนื้อวัสดุออกเป็นชิ้นเล็กๆ เป็นจำนวนมาก แต่ชิ้นประกอบขึ้นด้วยตัวดำเนินการนำความร้อน 1 ตัว และตัวเก็บความร้อน 1 ตัว สำหรับการคำนวณบริเวณผิววัสดุที่มีการพากความร้อนโดยของไหหละใช้ตัวดำเนินการพากความร้อน 1 ตัว แล้วใช้โปรแกรมคำนวณจริงไฟฟ้าคำนวณแบบจำลองนี้

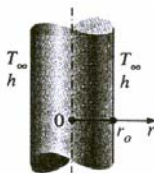
ในการแก้ปัญหาการถ่ายความร้อนในสภาพแปรเปลี่ยนที่มีเพียงชิ้นเดียวได้แสดงการคำนวณให้เห็นว่าวิธีการนี้สามารถนำไปใช้ได้ [1] และเมื่อเพิ่มจำนวนชิ้นให้เป็นวิธีไฟไนต์เรซิสแตนซ์-คากาชิแทนซ์โดยนำมาระบุกต์ใช้กับการคำนวณอุณหภูมิในแผ่นที่เวลาผ่านไปจะให้ค่าที่ถูกต้องมากขึ้นเมื่อแบ่งจำนวนชิ้นที่มากขึ้น [2]

จากนี้ยังมีการใช้งานจริงไฟฟ้าคำนวณร่วมกับวงจรทางความร้อนเพื่อศึกษาผลของความร้อนที่มีต่อชิ้นส่วนอิเลคทรอนิกส์ เนื่องจากการเหลืองไฟฟ้านี้ผลให้เกิดความร้อนในชิ้นส่วนอิเลคทรอนิกส์และความร้อนที่เกิดขึ้นในชิ้นส่วนอิเลคทรอนิกส์มีผลต่อการไฟฟ้าของกระแสไฟฟ้าเช่นกัน [5]



รูปที่ 1 วงจรไฟฟ้าด้านข้างเป็นวงจรไฟฟ้าของ DMOS ส่วนด้านขวา เป็นวงจรไฟฟ้าของ Heat sink [5]

บทความนี้จะทำการสร้างแบบจำลองคณิตศาสตร์ในพิกัดทรงกระบอก(Cylindrical coordinate) โดยแบ่งวัตถุเป็นชิ้นส่วนย่อยรูปทรงกระบอกกลวงและทรงกระบอกด้านเป็นแกนกลางมาตรวจสอบความถูกต้องกับทฤษฎีการคำนวณอุณหภูมิภายในเนื้อวัตถุรูปทรงกระบอก ซึ่งจะสามารถลดเวลาในการคำนวณและแบ่งจำนวนชิ้นย่อยลงได้เป็นจำนวนมากมาก เมื่อเทียบเทียบกับการใช้ชิ้นส่วนย่อยแบบลูกบาศก์ในพิกัดแกนตั้งฉาก (Rectangular coordinate) ซึ่งจะเป็นประโยชน์ในการนำเสนอแบบจำลองนี้ไปใช้ในปัญหาที่ซับซ้อนยิ่งขึ้นต่อไป



รูปที่ 2 ทรงกระบอกที่พิจารณาจุ่มลงในของไหหละที่มีอุณหภูมิต่ำกว่า [7]

2. การวิเคราะห์เชิงทฤษฎีการถ่ายเทคโนโลยี

ในที่นี้จะกล่าวถึงการคำนวณการเปลี่ยนแปลงอุณหภูมิภายในทรงกระบอกที่รัศมี r โดยทรงกระบอกมีรัศมี r_0 ดังรูปที่ 2 ซึ่งมีความยาวมากเมื่อเทียบกับเส้นผ่าศูนย์กลางทรงกระบอก จะได้ว่าอุณหภูมิที่ระดับ

ความลึกเดียวกันจากผิวน้ำมีค่าเท่ากันตลอดเมื่อไม่พิจารณาบริเวณขอบวัสดุที่สัมผัสด้วยเหลืองด้านปลายทรงกระบอกทั้งสองด้าน

2.1 เงื่อนไขการคำนวณ

พิจารณาถึงความเป็นไปได้ที่อุณหภูมิในทรงกระบอกจะมีค่าไม่เท่ากัน หลังจากวุ่นลงในของไหหละที่มีอุณหภูมิต่างจากผิวทรงกระบอกเมื่อเวลาผ่านไป เนื่องมาจากสาเหตุเหล่านี้คือ สภาพการนำความร้อนวัสดุ มีค่าต่ำมาก, สัมประสิทธิ์การพากความร้อนผิววัสดุสูงมาก หรือทรงกระบอกมีขนาดใหญ่มาก ซึ่งความสมมัติขึ้นของเงื่อนไข 3 ประการนี้ แสดงเป็นค่า Biot number (Bi) ถ้าผลการคำนวณค่า $Bi > 0.1$ จะเป็นค่าที่ยอมรับว่าการกระจายอุณหภูมิมีความแตกต่างกัน $> 5\%$ [7] ซึ่งจะเป็นเงื่อนไขบังคับให้ต้องคำนวณการกระจายอุณหภูมิภายในวัตถุ ถ้าต้องการคำนวณหาอัตราการถ่ายเทคโนโลยีให้ถูกต้องยิ่งขึ้น

$$Bi = \frac{hr_0}{k} \quad (1)$$

เมื่อ h - สัมประสิทธิ์การพากความร้อน ($W/m^2 \cdot ^\circ C$)

r_0 - รัศมีทรงกระบอก (m)

k - สภาพการนำความร้อนวัสดุ ($W/m \cdot ^\circ C$)

2.2 อุณหภูมิวัตถุที่เวลาใดๆ

สมการที่ใช้หาค่าอุณหภูมิวัสดุที่เวลาใดๆ เป็นดังนี้ [3]

$$\frac{(T_{x,t} - T_\infty)}{(T_i - T_\infty)} = \sum_{n=1}^{\infty} C_n e^{-\xi_n^2 F_0} J_0(\xi_n \frac{r}{r_0}) \quad (2)$$

$$\theta^* = \sum_{n=1}^{\infty} C_n e^{-\xi_n^2 F_0} J_0(\xi_n r^*) \quad (3)$$

โดย

$$C_n = \frac{2}{\xi_n} \cdot \frac{J_1(\xi_n)}{J_0^2(\xi_n) + J_1^2(\xi_n)} \quad (4)$$

$$\xi_n \cdot \frac{J_1(\xi_n)}{J_0(\xi_n)} = Bi \quad (5)$$

$$F_0 = \frac{k t}{\rho C_p r_0^2} = \frac{\alpha t}{r_0^2} \quad (6)$$

เมื่อ $T_{x,t}$ - อุณหภูมิวัสดุที่ความลึกจากผิวน้ำ x ณ เวลา t ($^\circ C$)

T_∞ - อุณหภูมิของไหหละ ($^\circ C$)

T_i - อุณหภูมิเริ่มต้นของวัสดุ ($^\circ C$)

t - เวลาที่ผ่านไป (s)

α - ค่าสัมประสิทธิ์การแพร์กระจายความร้อน (m^2/s)

ρ - ความหนาแน่นของวัสดุ (kg/m^3)

C_p - ความร้อนจำเพาะของวัสดุ ($J/kg \cdot ^\circ C$)

สำหรับการคำนวณโดยประมาณ(Approximate solution) นั้น จะใช้ค่า $k=1$ เท่านั้น ซึ่งต้องตรวจสอบ Fourier number (Fo) ถ้าผลการคำนวณค่า $Fo > 0.2$ จะเป็นค่าที่ยอมรับว่าอุณหภูมิที่คำนวณได้ที่เวลา

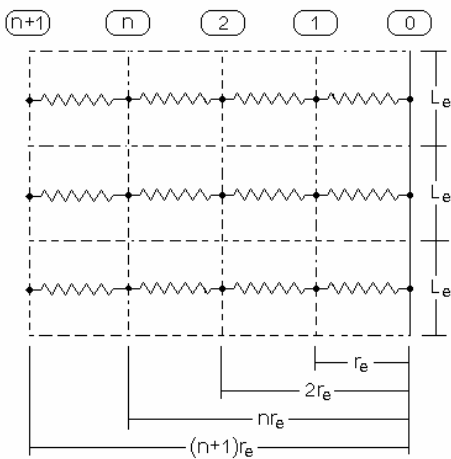
ต่างๆมีความผิดพลาด $< 2\%$ [7] แต่ถ้าค่า $Fo < 0.2$ ต้องเพิ่มอันดับ n ให้มากขึ้น เช่น $n=1,2$ หรือ $n=2,3$ เป็นต้น

3.การวิเคราะห์แบบวิธีไฟโนร์ชิสแทนซ์-คาป้าชิแทนซ์

โดยการแบ่งเนื้อวัสดุออกเป็นชั้นเล็กๆรูปทรงกระบอกตันเป็นแกนกลางแล้วซ้อนด้วยทรงกระบอกกลางจำนวนมาก ทรงกระบอกกลางและตันแต่ละชั้นมีความยาว L_e เท่ากันหมดซึ่งผลที่ได้จะเรียงตัวกันเป็นชั้นความหนา L_e นั่นเอง เพื่อให้ง่ายต่อการคำนวณกำหนดให้รัศมีทรงกระบอกกลางชั้นในสุดมีขนาดเท่ากับรัศมีทรงกระบอกตัน r_e และให้ความหนาทรงกระบอกกลางทุกชั้นมีขนาด r_e เท่ากันหมด ซึ่งแต่ชั้นประกอบขึ้นด้วยตัวต้านทานการนำความร้อน 1 ตัว และตัวเก็บความร้อน 1 ตัว

3.1 ตัวต้านทานการนำความร้อนในเนื้อวัสดุ

เนื่องจากเป็นการวิเคราะห์ถ่ายเทความร้อนแบบ 1 มิติ ดังนั้นจะไม่มีการถ่ายเทความร้อนในแนวยาวจากตันที่อยู่ข้างล่างไปยังปลายท่อของแต่ละชั้นย่อย เหลือแต่การถ่ายเทความร้อนในแนวรัศมี ค่าความต้านทานความร้อนในเนื้อวัสดุมีได้ 2 รูปแบบคือการนำความร้อนในแนวรัศมีทรงกระบอกกลาง และการนำความร้อนในแนวรัศมีทรงกระบอกตัน ดังรูปที่ 3



รูปที่ 3 การถ่ายเทความร้อนในเนื้อวัสดุระหว่างแต่ละชั้น

3.1.1 ความต้านทานความร้อนในเนื้อวัสดุแนวรัศมีทรงกระบอกกลาง พิจารณาการถ่ายเทความร้อนระหว่างผิวทรงกระบอกตันที่ $n+1$ และผิวทรงกระบอกตันที่ n ในกรอบเส้นประ เพื่อหาค่าความต้านทานความร้อน ได้ค่าดังนี้[4]

$$R_{HCCond,inside radial} = \frac{\ln(r_{n+1}/r_n)}{2\pi k L_e} = \frac{\ln[(n+1)/n]}{2\pi k L_e} \quad (7)$$

เมื่อ $R_{HCCond,inside radial}$ – ความต้านทานความร้อนในเนื้อวัสดุของทรงกระบอกกลางในแนวรัศมี ($^{\circ}\text{C/W}$)

r_{n+1}, r_n - รัศมีด้านนอก และรัศมีด้านใน Element ชนิดทรงกระบอกกลางที่ n

n - หมายเลขอรุ่นของทรงกระบอกกลาง ดูรูปที่ 3

k - สภาพการนำความร้อน ($\text{W/m.}^{\circ}\text{C}$)

L_e - ความยาว Element (m)

3.1.2 ความต้านทานความร้อนในเนื้อวัสดุในแนวรัศมีทรงกระบอกตัน พิจารณาการถ่ายเทความร้อนระหว่างผิวทรงกระบอกตันที่ 1 และจุดศูนย์กลางทรงกระบอกตันที่ 0 ของรูปที่ 3 เพื่อหาค่าความต้านทานความร้อน จะเห็นได้ว่าพื้นที่ผิวของจุดศูนย์กลางทรงกระบอกมีค่าเป็น 0 ดังนั้นจึงไม่สามารถใช้สูตรการนำความร้อนของทรงกระบอกตันได้ ด้วยเหตุนี้จึงกำหนดให้อุณหภูมิที่จุดศูนย์กลางของทรงกระบอกเท่ากับอุณหภูมิที่ผิว นั่นคือความต้านทานความร้อนมีค่าเท่ากับศูนย์ จึงได้ค่าดังนี้

$$R_{SCCond,inside radial} = 0 \quad (8)$$

เมื่อ $R_{SCCond,inside radial}$ – ความต้านทานความร้อนในเนื้อวัสดุของทรงกระบอกตันในแนวรัศมี ($^{\circ}\text{C/W}$)

3.2 ตัวเก็บความร้อน

ตัวเก็บความร้อนมีค่าเท่ากับความจุความร้อนของวัสดุ ดังนี้[1]

$$C_t = m C_p = \rho V C_p \quad (9)$$

เมื่อ C_t - ความจุความร้อน ($\text{J}/^{\circ}\text{C}$)

m - มวลวัสดุ (kg)

C_p - ความร้อนจำเพาะ ($\text{J/kg.}^{\circ}\text{C}$)

ρ - ความหนาแน่น (kg/m^3)

V - ปริมาตร (m^3)

ตัวเก็บความร้อนในเนื้อวัสดุมีได้ 2 แบบคือเนื้อทรงกระบอกตัน และเนื้อวงแหวนทรงกระบอกกลาง แต่เนื่องจากการคำนวณนี้แบ่งออกเป็น Node ซึ่งเป็นรอยต่อระหว่างทรงกระบอก ดังนั้นจึงแยกตัวเก็บความร้อนออกเป็น 3 ประเภทคือผิวทรงกระบอกกลางชั้นนอกสุด, รอยต่อทรงกระบอก และแกนกลางทรงกระบอกตัน

3.2.1 ตัวเก็บความร้อนที่ผิวทรงกระบอกกลางชั้นนอกสุด

แบ่งเนื้อจำนวนครึ่งความหนาของวงแหวนทรงกระบอกกลางด้านนอกให้เป็นตัวเก็บความร้อนที่ผิวทรงกระบอกตันที่ n นอกสุด โดยสมมุติให้ชั้นนอกสุดเป็นชั้นที่ n จะได้

$$\begin{aligned} V_{HC,edge} &= \pi (r_n^2 - r_{n-1/2}^2) L_e \\ &= \pi r_e^2 L_e (n-1/4) \\ C_{HC,edge} &= \rho \pi r_e^2 L_e C_p (n-1/4) \end{aligned} \quad (10)$$

เมื่อ $C_{HC,edge}$ – ความจุความร้อนที่ผิวทรงกระบอกกลางชั้นนอกสุด ($\text{J}/^{\circ}\text{C}$)

3.2.2 ตัวเก็บความร้อนที่รอยต่อทรงกระบอก

บริเวณรอยต่อทรงกระบอก ใช้เนื้อวงแหวนทรงกระบอกกลางด้านในของชั้นที่ $n+1$ จำนวนครึ่งความหนา และใช้เนื้อวงแหวนทรงกระบอกกลางด้านนอกของชั้นที่ n จำนวนครึ่งความหนาจะได้

$$\begin{aligned} V_{HC,inside} &= \pi (r_{n+1/2}^2 - r_{n-1/2}^2) L_e \\ &= \pi r_e^2 L_e (2n) \\ C_{HC,inside} &= \rho \pi r_e^2 L_e C_p (2n) \end{aligned} \quad (11)$$

เมื่อ $C_{HC,inside}$ – ความจุความร้อนที่รอยต่อทรงกระบอก ($\text{J}/^{\circ}\text{C}$)

3.2.3 ตัวเก็บความร้อนที่แกนกลางทรงกระบอกดัน

เนื่องจากได้แบ่งเนื้อที่ผิวทรงกระบอกดันแล้วไปครึ่งหนึ่งให้กับรอยต่อที่ $n=1$ ดังนั้นจึงเหลือเนื้อสำหรับเก็บความร้อนเพียงครึ่งเดียวของรัศมีทรงกระบอกดัน

$$V_{SC,cen} = \pi \left[\frac{r_e}{2} \right]^2 L_e \quad (12)$$

$$C_{SC,cen} = \rho \pi r_e^2 L_e C_p (1/4)$$

เมื่อ $C_{SC,cen}$ - ความจุความร้อนที่แกนกลางทรงกระบอกดัน ($J/\text{°C}$)

3.3 ตัวด้านท่านการพาความร้อน

ตัวด้านท่านการพาความร้อนมีค่าดังนี้ [4]

$$R_{Conv} = \frac{1}{h A_s} \quad (13)$$

เมื่อ R_{Conv} - ความด้านท่านการพาความร้อน ($^{\circ}\text{C}/\text{W}$)

$h..$ - สัมประสิทธิ์การพาความร้อน ($\text{W}/(\text{m}^2 \cdot ^{\circ}\text{C})$)

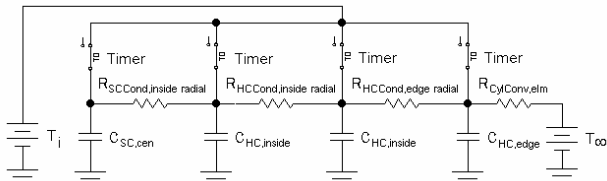
A_s - พื้นที่ผิวสัมผัสน้ำหนักของไอล (m²)

$$A_s = 2\pi r_o L_e \text{ m}^2$$

แทนค่า A_s ในสมการ (13)

$$R_{CylConv,elm} = \frac{1}{h 2 \pi r_o L_e} \quad (14)$$

เมื่อ $R_{CylConv,elm}$ - ความด้านท่านการพาความร้อนที่ผิวทรงกระบอก Element ($^{\circ}\text{C}/\text{W}$)



รูปที่ 4 แบบจำลองการถ่ายเทความร้อนประกอนด้วยทรงกระบอกดัน เป็นแกนกลางและทรงกระบอกกลาง 2 ชั้น อยู่ในของไอล

4. การคำนวณเปรียบเทียบ

เมื่อกำหนดให้แห่งทรงกระบอกลูมิเนียมมีรัศมี (r_o) 50 mm. และมีความสูงไม่จำกัด มีอุณหภูมิเริ่มต้น (T_i) 200 °C มีค่าสภาพการนำความร้อน (k) 237 W/m. °C, ความหนาแน่น (ρ) 2702 kg/m³ และความความร้อนจำเพาะ (C_p) 903 J/kg. °C ทำให้เย็นลงทันทีในของไอลอุณหภูมิ (T_∞) 50 °C ซึ่งมีค่าสัมประสิทธิ์การพาความร้อน (h) 500 W/m². °C

4.1 คำนวณด้วยทฤษฎีการถ่ายเทความร้อน

ซึ่งมีขั้นตอนการคำนวณดังนี้

1. ตรวจสอบค่า Biot number (Bi) จาก (1)

$$r_o (\text{รัศมีทรงกระบอก}) = 0.05 \text{ m}$$

$$Bi = 0.1054852320675$$

ค่า Bi มากกว่า 0.1 และว่าอุณหภูมิที่กึ่งกลางเนื้อวัสดุแตกต่างจากบริเวณพื้นผิว

2. ตรวจสอบค่า Fourier number (Fo) จาก (6)

$$\alpha (\text{การแพร่กระจายความร้อน}) = 9.71348896228(10^{-5}) \text{ m}^2/\text{s}$$

$$Fo = 3.885395585(10^{-2})t$$

ดังนั้นจะสามารถคำนวณด้วย Approximate solution ($n=1$) ได้ เมื่อ $Fo > 0.2$ ที่ $t > 5.14748101254$ s

3. คำนวณค่าคงที่ ξ_n จากสมการ (5)

คำตอบสมการมีได้หลายค่า ค่าที่น้อยที่สุดคือ $n=1$ หรือ ξ_1 ค่ามากที่สุดไปเป็น $n=2$ หรือ ξ_2

จากสมการ Trial & error จะได้ค่าเดียวคือ

$$\xi_1 = 0.4533746319 \text{ rad}$$

4. คำนวณค่าคงที่ C จาก (4)

$$C_1 = 1.025893673$$

5. ทดสอบการเปลี่ยนแปลงอุณหภูมิที่ตำแหน่งลึกจากผิวหน้า (x)

25 mm จาก (3)

$$r = 25/50 = 0.5$$

$$J_0(\xi_1 r) = J_0(0.4533746319 * 0.5) = 0.9871659888$$

$$\theta^* = 1.012727342 \text{Exp}(-7.986374555(10^{-3})t)$$

6. คำนวณการเปลี่ยนแปลงอุณหภูมิที่เวลาต่างๆ

ตารางที่ 1 อุณหภูมิที่ระยะลึกจากผิวหน้า 25 mm ตามทฤษฎี

เวลา(s)	θ^*	อุณหภูมิ($^{\circ}\text{C}$)
180	0.24053242	86.0798632
240	0.14895920	72.3438794
300	0.09224886	63.8373292
360	0.05712875	58.5693123
420	0.03537923	55.3068849
480	0.02190999	53.2864979

4.2 คำนวณด้วยวิธีริชแท็ฟเฟ่น-คาปาริชแท็ฟเฟ่น

สำหรับการคำนวณนี้ใช้โปรแกรมอิเลคทรอนิกส์เวิร์คเบนช์คำนวณแต่อย่างไรก็ตามสามารถใช้โปรแกรมสำเร็จรูปวิเคราะห์วงจรไฟฟ้าอื่นๆ คำนวณได้ ซึ่งมีขั้นตอนการคำนวณดังนี้

1. แบ่งแท่งอุลิเนียมที่มีความยาวมากให้มีความยาวเพียง (L_e) 1 m.

m. เป็นหลายๆท่อน แต่จะคำนวณเพียงท่อนเดียวเท่านั้น เนื่องจากมีคุณสมบัติเหมือนกันทุกท่อน

2. แบ่งทรงกระบอกในแนวรัศมีออกเป็น 16 ระดับความลึกเท่าๆกัน จากริเวณห้องถุงศูนย์กลางทรงกระบอก ได้แก่นกลางเป็นทรงกระบอกดัน 1 ชั้นและทรงกระบอกกลางชั้นกันจำนวน 15 ชั้น

3. คำนวณได้ค่ารัศมีทรงกระบอกดัน (r_e) $50/16=3.125$ mm. การเพิ่มรัศมีวงแหวนที่ต่อลอดโดยมีความหนาทรงกระบอกกลาง ($r_e=r_1=r_o$)

3.125 mm. ทุกชั้น

4. คำนวณรัศมีทรงกระบอกทุกๆชั้น จะได้

$$r_2=r_1+r_e=2r_e=6.25\text{mm.},$$

$$r_3=r_1+2r_e=3r_e=9.375\text{mm.}, \dots,$$

$$r_{16}=r_1+15r_e=16r_e=50\text{ mm.}$$

5. คำนวณหาค่าความด้านท่านการพาความร้อนในเนื้อวัสดุในแนวรัศมีของแต่ละชั้นย่อย จาก(8) $R_{SCCond0-1,inside_radial}=0 ^{\circ}\text{C}/\text{W}$ จาก(7)

เข่น $R_{HCCond1-2,inside\ radial} = 4.654759498(10^{-4}) \text{ } ^\circ\text{C/W}$, $R_{HCCond15-16,inside\ radial} = 4.334018843(10^{-5}) \text{ } ^\circ\text{C/W}$

6. คำนวณหาค่าความต้านทานการพาราความร้อนจาก(14) จะได้

$$R_{CylConv,elm} = 6.366197723(10^{-3}) \text{ } ^\circ\text{C/W}$$

7. คำนวณค่าตัวเก็บประจุของแต่ละชั้นอยู่ที่ได้แบ่งไว้ จาก(12)

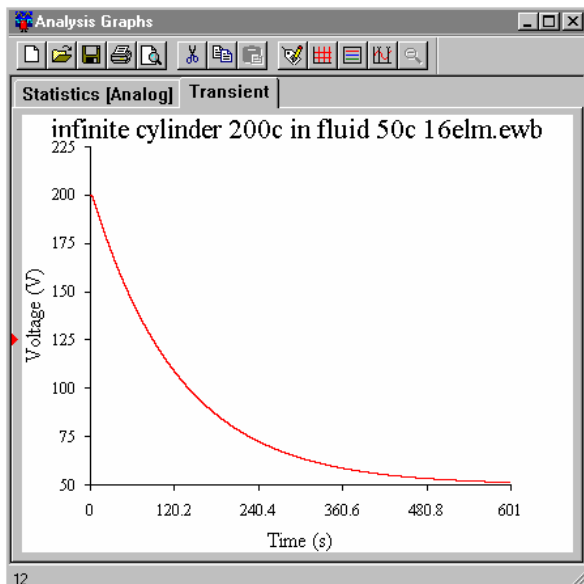
$$C_{SC0,cen} = 18.71384464 \text{ J}/^\circ\text{C} \text{ จาก}(11) \text{ เข่น } C_{HC1,inside} = 149.7107571$$

$$\text{J}/^\circ\text{C}, \quad C_{HC15,inside} = 2245.661357 \text{ J}/^\circ\text{C} \text{ จาก}(10)$$

$$C_{HC16,edge} = 1178.972212 \text{ J}/^\circ\text{C}$$

8. เขียนตัวด้านทานและตัวเก็บประจุลงใน Work sheet ของโปรแกรมอิเลคทรอนิกส์เวิร์คbenenz จากรูปที่ 4 ในรูปได้ใส่ตัว Timer switch 1 วินาทีไว้ เพื่อตั้งค่าสภาวะอุณหภูมิเริ่มต้น(T_0) หลังจาก 1 วินาทีแล้วการเปลี่ยนแปลงอุณหภูมิเนื้อวัสดุจะขึ้นอยู่กับอุณหภูมิของไฟล(T_∞)

9. ใช้โปรแกรมคำนวณการเปลี่ยนแปลงค่าความต้านทานที่ไฟฟ้า(V) โดยเลือกวิเคราะห์แบบ Transient ซึ่งค่าที่ได้นี้คือการเปลี่ยนแปลงอุณหภูมิ(T) เมื่อเวลาผ่านไปนั้นเอง โดยกำหนดจุดที่จะทำการเปลี่ยนแปลงอยู่ที่ความลึกจากผิวน้ำ 25 mm คือที่อยู่ต่อระหว่างตัวด้านทานที่ 8 กับ 9 ($n=8$) ตั้งเวลาสิ้นสุดการวิเคราะห์ถึงวินาทีที่ 601 ในระหว่างการคำนวณโปรแกรมจะเขียนกราฟแสดงการการเปลี่ยนแปลงศักย์ไฟฟ้า(V)หรืออุณหภูมิ(T) แสดงดังรูปที่ 5



รูปที่ 5 ผลการคำนวณด้วยโปรแกรมอิเลคทรอนิกส์เวิร์คbenenz จากเวลา 0 ถึง 601 วินาที

ซึ่งจะอ่านค่าอุณหภูมิจากการไฟได้ดังตารางที่ 2
ตารางที่ 2 อุณหภูมิที่ระยะลึกจากผิวน้ำ 25 mm จากโปรแกรม

เวลา(s)	อุณหภูมิ(°C)
1+180	86.6515837
1+240	72.3981901
1+300	63.9140272
1+360	58.8235294
1+420	55.4298643
1+480	53.3936652

5. วิเคราะห์ผล

หากค่าความผิดพลาดที่แตกต่างจากทฤษฎี(%Error) โดยนำตารางที่ 2 มาหารด้วยตารางที่ 1 ได้ค่าความผิดพลาดดังนี้
ตารางที่ 3 แสดงค่าความผิดพลาดของอุณหภูมิที่เวลาต่างๆ

เวลา(s)	Error(%)
180	0.664174475
240	0.075072902
300	0.120145863
360	0.434044895
420	0.222358157
480	0.201115168

จะเห็นได้ว่าเป็นค่าความผิดพลาดที่น้อยมาก สำหรับเวลาที่มากกว่า 601 s นั้น อุณหภูมิจะเข้าใกล้ T_∞ หากยิ่งขึ้น

แต่อย่างไรก็ตามสูตรที่ใช้ในการคำนวณทางทฤษฎีองค์เป็นการประมาณการเท่านั้นเนื่องจากไม่สามารถแก้สมการ Differential ได้โดยตรง จึงมีการใช้ Bessel function มาช่วยแก้สมการซึ่งผลลัพธ์ที่ได้เป็นค่าโดยประมาณเท่านั้น

6. สรุป

เมื่อกำหนดให้แห่งทรงกระบอกอุ่นเมียบมีรัศมี 50 mm. และมีความร้อนใหม่จำกัด มีอุณหภูมิเริ่มต้น 200°C มีค่าสภาพการนำความร้อน 237 W/m. $^\circ\text{C}$, ความหนาแน่น 2702 kg/m 3 และความความร้อนนำพา 903 J/kg. $^\circ\text{C}$ ทำให้เย็นลงทันทีในของเหลวอุณหภูมิ 50 °C ซึ่งมีค่าสัมประสิทธิ์การพาราความร้อน 500 W/m. $^\circ\text{C}$ เมื่อคำนวณอุณหภูมิที่ระยะลึกจากผิวน้ำ 25 mm. ด้วยโปรแกรมโดยให้เวลาผ่านไป 360 วินาที ปรากฏว่ามีความผิดพลาด 0.43 % จากทฤษฎี แต่อย่างไรก็ตามสูตรที่ใช้ในการคำนวณทางทฤษฎีองค์เป็นการประมาณการเท่านั้น เนื่องจากไม่สามารถแก้สมการ Differential ได้โดยตรง

จากค่าความผิดพลาดแสดงให้เห็นว่าแบบจำลองคณิตศาสตร์ ซึ่งส่วนใหญ่จะทบทวนที่มีตัวด้านทานและตัวเก็บประจุเป็นจำนวนมากนี้ สามารถคำนวณโดยทฤษฎีวงจรไฟฟ้าที่ให้คำตอบที่น่าเชื่อถือได้ ซึ่งจะเป็นการง่ายในการใช้โปรแกรมสำหรับทางไฟฟ้าคำนวณปัญหาการถ่ายเทความร้อนในสภาวะแปรเปลี่ยนไปตามเวลาที่มีความซับซ้อนของเนื้อวัสดุต่อไป

เอกสารอ้างอิง

- [1] ประเสริฐ อินประเสริฐ, พ.ศ. 2547. การคำนวณผลการตอบสนองอุณหภูมิของวัสดุทรงกลมที่มีการกระจายอุณหภูมิในเนื้อส่วน外 เดียว วิธีรีสแทนช์-คาปาชิแทนช์, การประชุมวิชาการเครือข่ายวิศวกรรมเครื่องกลแห่งประเทศไทยครั้งที่ 18, หน้า 953-956
- [2] ประเสริฐ อินประเสริฐ, พ.ศ. 2548. การคำนวณผลการตอบสนองอุณหภูมิภายในผังด้วยวิธีไฟโนต์รีสแทนช์-คาปาชิแทนช์, การประชุมวิชาการเครือข่ายวิศวกรรมเครื่องกลแห่งประเทศไทยครั้งที่ 19, หน้า 1169-1173

-
- [3] Frank P. Incropera, David P. DeWitt, 2002. Introduction to Heat Transfer, Fourth edition, Purdue University, U.S.A., John Wiley&Sons.Inc, pp 254-256,260,849
 - [4] Frank W. Schmidt, Robert E. Henderson, Carl H. Wolgemuth, 1993. Introduction to Thermal Sciences, Second edition, The Pennsylvania State University, U.S.A., John Wiley&Sons.Inc, Singapor, pp 388,430
 - [5] Martin Marz,Paul Nance, 2000. Thermal Modeling of Power-electronic Systems, Fraunhofer Institute for Integrated Circuit, http://www.iisb.fraunhofer.de/de/arb_ges/pub_les/02_00.pdf, (accessed on Oct 2005)
 - [6] Satish P. Ketkar,Ph.D, 1999. Numerical thermal analysis, The MacNeal-Schwandler Corporation, U.S.A., ASME Press, New York, pp 59-70
 - [7] Yunus A. Cengel, 1998. Heat Transfer a Practical Approach, University of Nevada. Reno, U.S.A., McGraw-Hill. Inc, pp 228-229,233-234,237